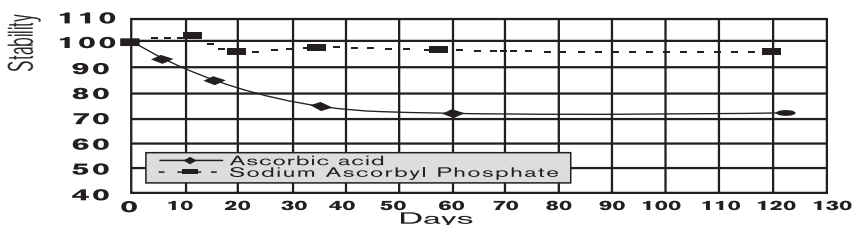


REV IDRAX VISO® REV IDRAX BOTO®



Confronto di stabilità tra Sodium ascorbyl phosphate ed Acido L-ascorbico in soluzione acquosa (2).

Il Sodium ascorbyl fosfato per attivarsi in Acido L-ascorbico e svolgere la sua funzione antiossidante, necessita dell'azione demolitrice di enzimi fosfatasi ed esterasi presenti naturalmente nella parte vitale dell'epidermide. Di conseguenza l'attivazione e successiva ossidazione della Vitamina C si realizza direttamente *in vivo* realizzando un'effettiva azione antiradicali liberi.

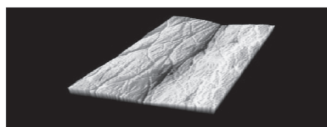
La presenza delle vitamine A, C, E ed F, in sferosomi multivitaminici, è in grado di inibire le Metalloproteinasi che degradano il collagene e di stimolare la proliferazione del fibroblasto (cellula fondamentale del derma).

REV IDRAX VISO® e REV IDRAX BOTO® attraverso questa preziosa sinergia di sostanze bioattive ad alto dosaggio e veicolate in nanoparticelle lipidiche carriers, portano ai seguenti benefici:

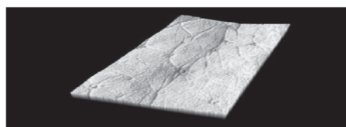
- aumento dell'idratazione
- riduzione dei processi ossidativi
- riduzione della degradazione del collagene
- stimolazione della produzione di nuovi fibroblasti
- miglioramento del trofismo cutaneo
- diminuzione delle linee sottili e del solco delle rughe

La rugosità media confrontata con:

- Confocal profilometry
- Profilometer PI11
- Stereoscopic microscopy Optech ST3



N=21 Ra -25,55



N=21 RMS -25,45 Rugosità media misurata dopo 28 giorni con 2 applicazioni al giorno.

Inoltre con REV IDRAX BOTO:

- ridensificazione del derma
- diminuzione del solco delle rughe
- prolungamento degli effetti dei trattamenti estetici (botulino, filler, biovitalizzazione, peeling metodo Efface).

Bibliografie

- (1) Musacchio T, Torchilin VP. Recent developments in lipid-based pharmaceutical nanocarriers. *Front Biosci.* 2011 Jan 1;16:1388-412.
- (2) Pharmabio laboratories – Revé – FRANCE - 2010
- (3) Chen WY, Abatangelo G. *Wound Repair Regen.* 1999 Mar-Apr; 7(2):79-89.
- (4) Kunio Esumi Antioxidant-potentiality of gold-chitosan nanocomposites. *Colloids and surfaces B : Biointerfaces*, 32, 2, 2003, 117-123.